

# FEM Code Report5

SA24229016 王润泽

2024 年 11 月 30 日

## 1 Introduction

编写程序求解  $\Omega = [0, 1] \times [0, 1]$  定义域范围的 Dirichlet 边值问题:

$$\begin{aligned} -\nabla^2 u &= f \quad \text{in } \Omega, \\ u &= 0 \quad \text{on } \partial\Omega. \end{aligned} \tag{1}$$

有限元空间选取为分段连续二次多项式空间  $V_h$

$$V_h = \{v_h \in C(\Omega) : v_h|_k \in P^2(k), \forall k \in \mathcal{T}_h, v_h|_{\partial\Omega} = 0\}. \tag{2}$$

要求, 准确解为  $u(x, y) = (x - 1) \sin(x)(y - 1) \sin(y)$ 。

## 2 Algorithm

### 2.1 Variational Formulation

首先将 Dirichlet 边值问题转化为如下变分问题:

定义双线性形式:

$$a(u, v) = \int_{\Omega} \nabla u \cdot \nabla v \, dx dy$$

线性形式

$$L(v) = \int_{\Omega} f v \, dx dy.$$

那么问题 (1) 的变分问题为: 求  $u \in V = \{v \in H^2(\Omega) : v|_{\partial\Omega} = 0\}$ , 使得对于所有  $v \in V$ , 有:

$$a(u, v) = L(v). \tag{3}$$

## 2.2 Finite Element Space

为了进行数值求解，选择一个分段连续二次多项式空间  $V_h \subset V$  进行求解。变分问题 (3) 的离散化形式为：Find  $u_h \in V_h$  such that

$$a(u_h, v_h) = L(v_h), \quad \forall v_h \in V_h. \quad (4)$$

### 2.2.1 Triangulation

首先，对于二维有限元问题，我们采用三角剖分的方法，将二维区域剖分为三角形网格集合  $\mathcal{T}_h = \{k_i\}$ ，每个三角形上定义一个局部的有限元空间。

考虑到我们采取的是分段连续二次多项式空间  $V_h$ ，因此我们需要在每个局部三角形上定义一个二次多项式空间  $P^2(k)$ ，

$$P^2(k) = \text{span}\{1, x, y, x^2, xy, y^2\}. \quad (5)$$

共有 6 个基函数，因此我们选择三角形的 3 个顶点和 3 个边中点作为基函数的支撑点，如图 1 所示。

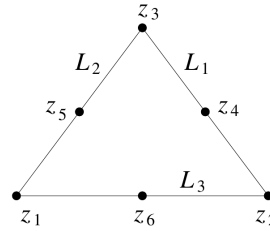


图 1: quadratic basis function

### 2.2.2 Local Basis Function

对于每个三角形  $k \in \mathcal{T}_h$ ，由其三个顶点定义  $P_1, P_2, P_3$  和三个边中点  $P_4, P_5, P_6$ ，我们选取一个分段二次多项式空间作为局部的基函数  $u(x, y)$ :

$$u(x, y) = a_1 + a_2x + a_3y + a_4x^2 + a_5xy + a_6y^2, \quad (6)$$

在三角形顶点处满足  $u(P_i) = u_i$ ，其中  $P_i$  为三角形顶点和边中点的全局坐标， $u_i$  为顶点处的值， $i = 1, 2, \dots, 6$ ， $u_i$  即为待求解的值。此时对于每个点的基函数  $N_i(x, y)$  满足：

$$N_i(P_j) = \delta_{ij}, \quad (7)$$

容易得到，基函数的表达式为：

$$N_1(x, y) = \lambda_1(2\lambda_1 - 1) \quad (8)$$

$$N_2(x, y) = \lambda_2(2\lambda_2 - 1) \quad (9)$$

$$N_3(x, y) = \lambda_3(2\lambda_3 - 1) \quad (10)$$

$$N_4(x, y) = 4\lambda_2\lambda_3 \quad (11)$$

$$N_5(x, y) = 4\lambda_3\lambda_1 \quad (12)$$

$$N_6(x, y) = 4\lambda_1\lambda_2 \quad (13)$$

其中， $\lambda_i$  为重心坐标函数，满足：

$$\lambda_i(x, y) = \frac{1}{2\Delta_k}(a_i x + b_i y + c_i) \quad (14)$$

$$a_i = y_j - y_m, \quad b_i = x_m - x_j, \quad c_i = x_j y_m - x_m y_j$$

$\Delta_k$  为三角形面积,  $i, j, m$  为三角形顶点编号, 下标符合轮换对称性, 且有  $\lambda_1 + \lambda_2 + \lambda_3 = 1$ 。

### 2.2.3 Stiffness Matrix

对于每个单位三角形  $\hat{k}$  区域内的基函数  $\hat{N}_i(\lambda_1, \lambda_2)$  求偏导数，根据双线性泛函  $a(\cdot, \cdot)$  的定义，对于单位三角形局部刚度矩阵  $\hat{A}_k$  可以写成：

$$\left(\hat{\mathbf{A}}_k\right)_{ij} = \int_{\hat{k}} \nabla \hat{N}_i \cdot \nabla \hat{N}_j d\lambda_1 d\lambda_2 \quad (15)$$

$$\hat{\mathbf{A}}_k = \begin{bmatrix} \frac{1}{2} & 0 & \frac{1}{6} & 0 & -\frac{2}{3} & 0 \\ 0 & \frac{1}{2} & \frac{1}{6} & -\frac{2}{3} & 0 & 0 \\ \frac{1}{6} & \frac{1}{6} & 1 & -\frac{2}{3} & -\frac{2}{3} & 0 \\ 0 & -\frac{2}{3} & -\frac{2}{3} & \frac{8}{3} & 0 & -\frac{4}{3} \\ -\frac{2}{3} & 0 & -\frac{2}{3} & 0 & \frac{8}{3} & -\frac{4}{3} \\ 0 & 0 & 0 & -\frac{4}{3} & -\frac{4}{3} & \frac{8}{3} \end{bmatrix} \quad (16)$$

转换到全局坐标系下时，如果我们三角化过程满足，每个三角形  $k$  是标准直角三角形，

且三角形的面积为  $\Delta_k = \frac{h^2}{2}$ ，那么有：

$$\begin{aligned}\frac{\partial}{\partial x} &= \frac{1}{h} \frac{\partial}{\partial \lambda_1}, \\ \frac{\partial}{\partial y} &= \frac{1}{h} \frac{\partial}{\partial \lambda_2} \\ \left| \frac{\partial(x, y)}{\partial(\lambda_1, \lambda_2)} \right| &= h^2\end{aligned}$$

此时，我们可以得到局部刚度矩阵  $A_k$ ：

$$\int_k \nabla N_i \cdot \nabla N_j \, dx dy = \int_{\hat{k}} \nabla \hat{N}_i \cdot \nabla \hat{N}_j \, d\lambda_1 d\lambda_2 \quad (17)$$

即：

$$\mathbf{A}_k = \hat{\mathbf{A}}_k \quad (18)$$

在构造全局刚度矩阵时，只需将局部刚度矩阵  $\mathbf{A}_k$  按照顶点索引的位置加到全局刚度矩阵  $\mathbf{A}$  的对应位置上即可。比如，对于三角形  $k$  的局部刚度矩阵的元素  $a_{12}$  对应的分别是  $u_1^k$  和  $u_2^k$ ，那么只要找到顶点  $P_1^k$  和  $P_2^k$  的全局索引，将  $a_{12}$  加到全局刚度  $\mathbf{A}$  的对应位置上即可。

#### 2.2.4 Load Vector

同理，对于单位三角形  $\hat{k}$  区域内的基函数  $\hat{N}_i(\lambda_1, \lambda_2)$ ，根据线性泛函  $L(\cdot)$  的定义，对于单位三角形局部载荷向量  $\hat{\mathbf{b}}_k$  可以写成：

$$\begin{aligned}(\hat{\mathbf{b}}_k)_i &= \int_{\hat{k}} f \hat{N}_i \, d\lambda_1 d\lambda_2 \\ &\approx f(P_i) \int_{\hat{k}} \hat{N}_i \, d\lambda_1 d\lambda_2\end{aligned} \quad (19)$$

$$\hat{\mathbf{b}}_k = \begin{bmatrix} f(P_1) \\ f(P_2) \\ f(P_3) \\ f(P_4) \\ f(P_5) \\ f(P_6) \end{bmatrix} \otimes \begin{bmatrix} 0 \\ 0 \\ 0 \\ 1/6 \\ 1/6 \\ 1/6 \end{bmatrix} \quad (20)$$

转换到全局坐标系下时有：

$$b_k = \hat{b}_k \left| \frac{\partial(x, y)}{\partial(\lambda_1, \lambda_2)} \right| = \hat{b}_k h^2 \quad (21)$$

### 3 Results

(1). 求解出满足方程的  $f(x, y)$

$$\begin{aligned} f(x, y) = & ((x - 1) \cdot \sin(x) - 2 \cos(x)) \cdot (y - 1) \cdot \sin(y) \\ & ((y - 1) \cdot \sin(y) - 2 \cos(y)) \cdot (x - 1) \cdot \sin(x) \end{aligned} \quad (22)$$

(2). 对区域采用三角形网格剖分  $\mathcal{T}_h$ ，给出总网格个数、对应的内部结点和边界结点的个数：

对于整个空间，得到三角网格面元单元数为  $2N^2$ ，内部顶点数为  $(2N - 1)^2$ ，边界顶点数为  $8N$ ，

(3). 输出初始网格的结点编号和三角单元的编号方式: 如图 2 所示.

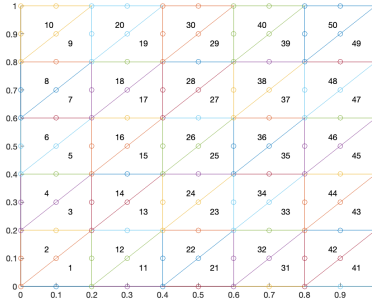


图 2: Triangulation

(4). 输出初始网格对应的刚度矩阵的非零元的图像: 如图 3 所示.

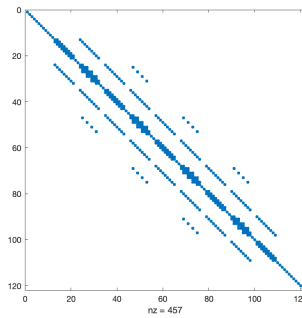


图 3: Stiffness Matrix

(6). 求解有限元问题，测试程序，并计算  $L^2, H^1$  误差和误差阶。

网格总数	总内部结点数	总边界点数	$L^2$ error	order	$H^1$ error	order
200	361	80	9.72E-07		8.04E-05	
800	1521	160	9.61E-08	3.338	1.80E-05	2.163
3200	6241	320	1.01E-08	3.253	4.19E-06	2.100
12800	25281	640	1.12E-09	3.169	1.01E-06	2.057

误差分析：因为选择了 2 次的 Lagrange 单元，那么它的插值误差是  $O(h^3)$  的，对于导数的误差是  $O(h^2)$  这和我们期望的误差阶是相同的。